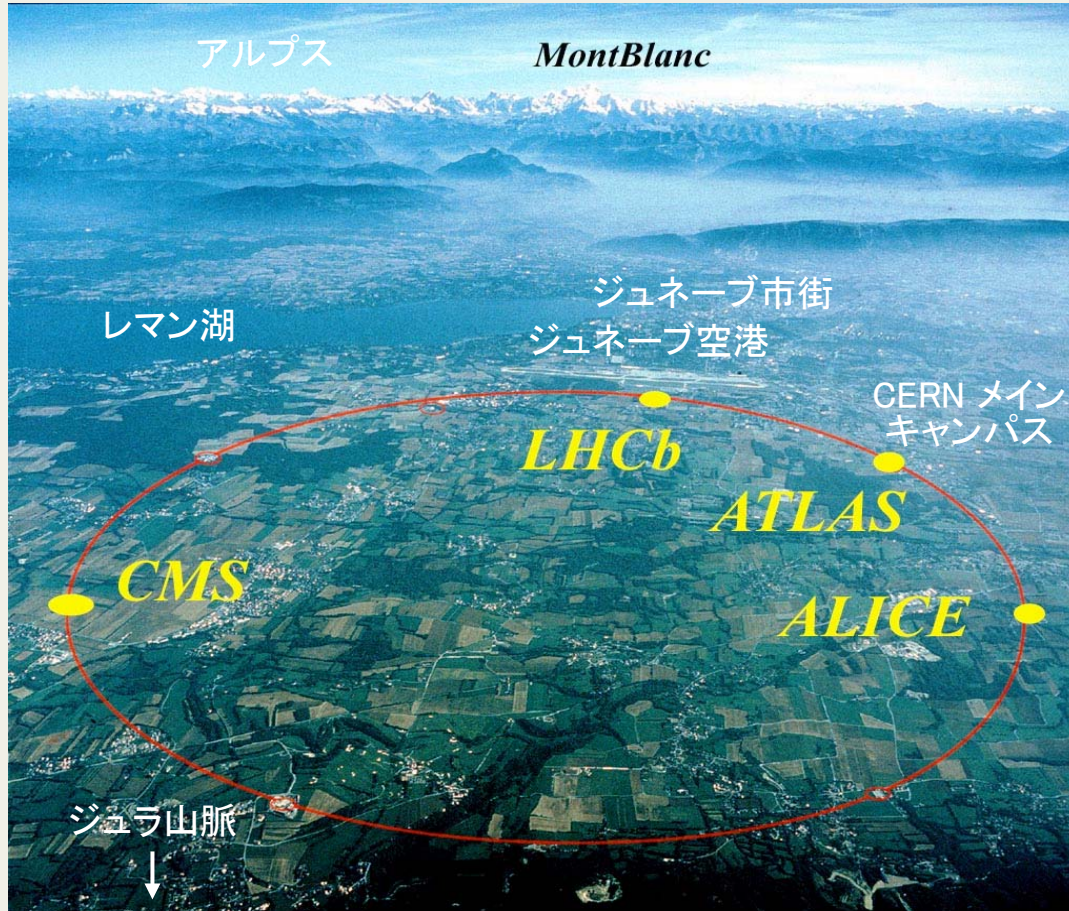


# LHC のための Event Generator

尾高 茂  
KEK

# LHC の簡単な紹介

# LHC (Large Hadron Collider)

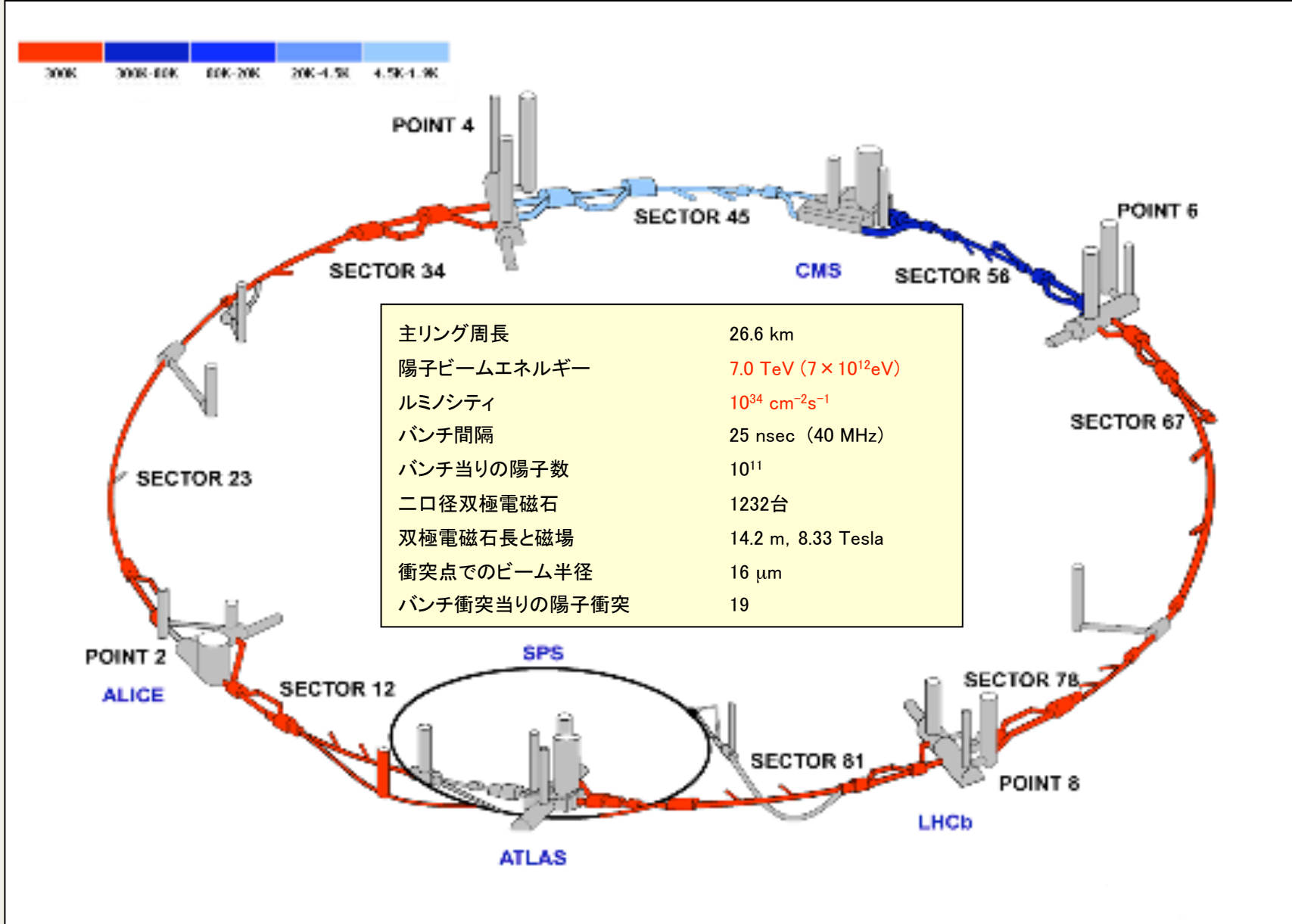


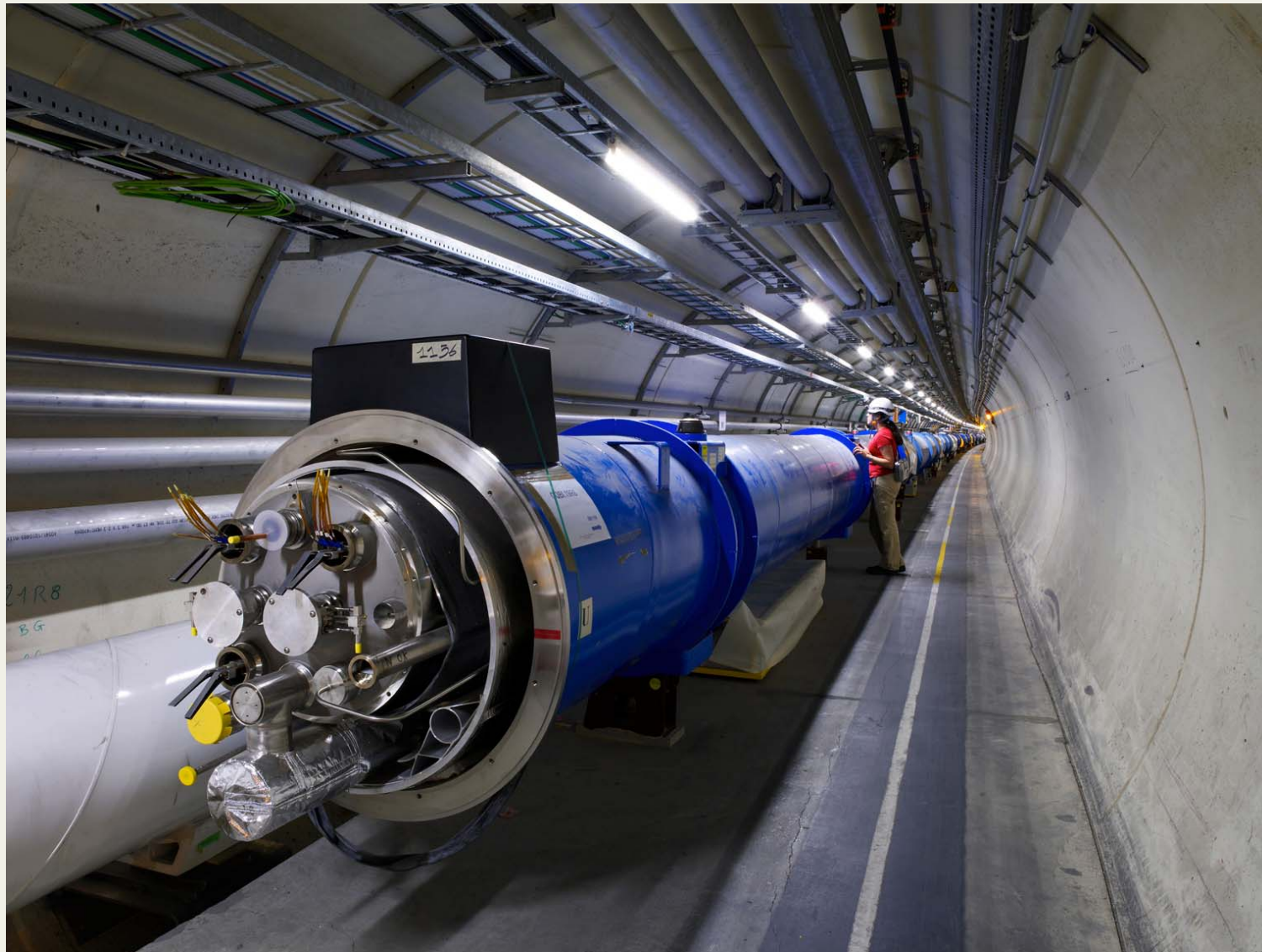
ジュラ山脈からジュネーブ方面(南東)を望む

CERN LEP トンネルを再利用  
地下 100 m、周長 27 km  
超伝導電磁石を用いた陽子陽子  
衝突型加速器に改造  
ビームエネルギー 7 TeV  
衝突エネルギー 14 TeV

参考: 山の手線の周長が約 32 km

- 1984: 検討ワーキング・グループ設置
- 1994: CERN 理事会で計画承認
- 1995: 技術報告書提出・承認
- 1998: 実験室等の掘削開始
- 2000: LEP 実験終了
- 2002: LEP 撤去完了
- 2003: 掘削作業終了
- 2005: 超伝導磁石設置開始
- 2007: 超伝導磁石設置完了
- 2008: LHC 完成





2009.9.2

GRACE School 2009

5

## 日本による LHC 加速器協力

ビーム衝突点では、陽子ビームを10ミクロンの太さに絞りこむ。このためにレンズの役割をする**超伝導4極マグネット**が必要で日本と米国とが設計・製造した。

KEK が設計、東芝が製造

磁場勾配 = 215 T/m

長さ 5 m、口径 70 mm

2005 年に 18 台の生産と検査を完了

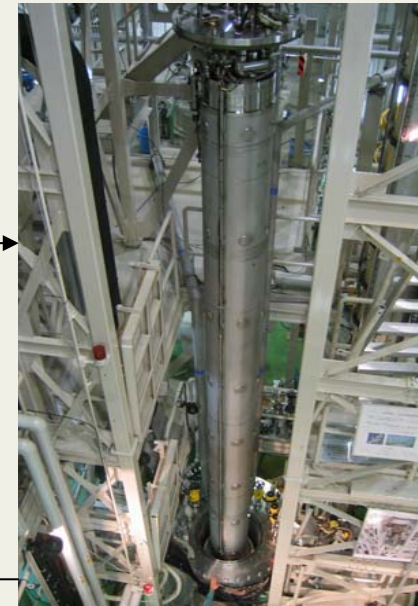


LHC トンネル内に設置された超伝導4極マグネット

2007 年 3 月、圧力テスト中に  
事故: 米国担当部分



超伝導ケーブルを巻く  
作業(東芝京浜工場)



コイルを検査するため垂直型  
クライオスタットに入れる(KEK)

その他、超伝導ケーブルの製造(古河電気工業)や、電磁石用特殊鋼(新日鉄、川鉄)、極低温ヘリウム冷却設備(IHI)など、日本信託基金を財源として調達した。日本企業によるLHC建設への貢献とその高い技術が評価を受けている。

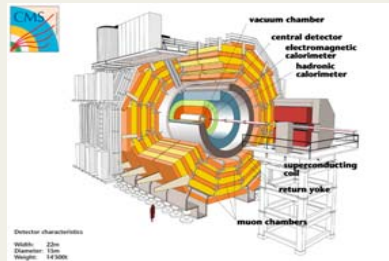


1995年6月23日 与謝野文部大臣がCERN理事会に出席し日本によるLHC建設協力を表明した。非加盟国の中では日本が最初であった。その後も日本は資金協力をを行い、総計138.5億円の建設協力を行った。

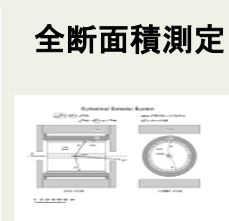
<http://www.kek.jp/newskek/2008/sepoct/LHCfirstbeam/photo5.html>

# 実験装置

CMS pp衝突実験

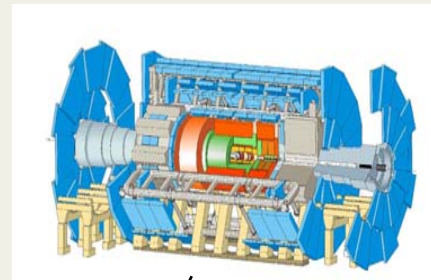


TOTEM  
全断面積測定

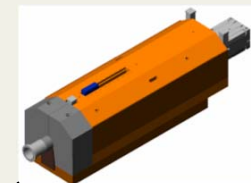


Higgs 粒子探索を主要な目的の一つとするのは  
**ATLAS** と **CMS**

ATLAS pp衝突実験



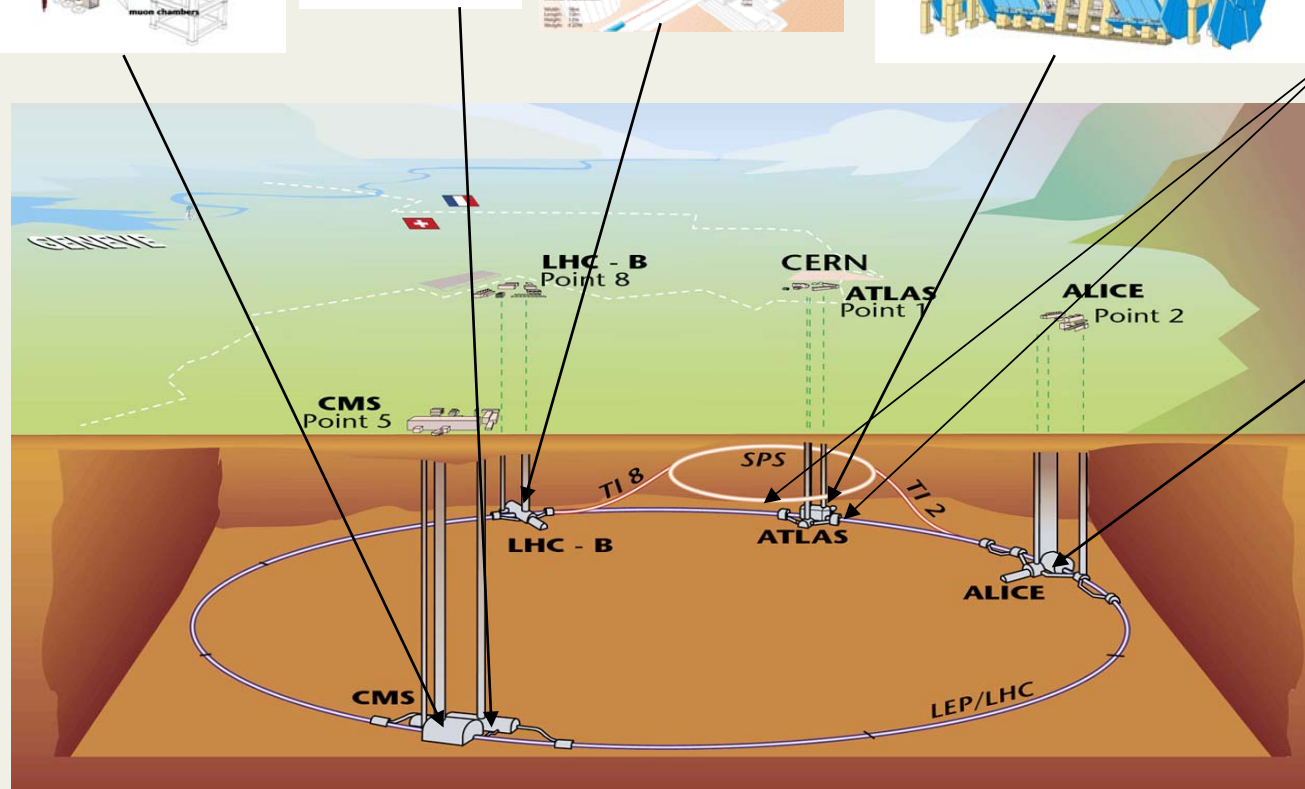
LHCf 超前方生成



LHCb Bの物理実験



ALICE 重イオン衝突実験



## アトラス国際 共同実験

アトラス実験の国際チームは、34カ国から151の大学・研究所が参加し、研究者約1500名からなるグループで構成される。

(注：これは 2006 年の統計なので現在はもっと多い)

1994年にグループが発足し1996年から10年以上かけて装置の設計・建設を行なってきている。



### 日本の研究機関は ATLAS 実験に参加

KEK, 筑波大学, 東京大学(ICEPP), 首都大学東京, 信州大学, 名古屋大学, 立命館大学, 京都大学, 京都教育大学, 大阪大学, 神戸大学, 鳴門教育大学, 岡山大学, 広島大学, 広島工業大学, 長崎総合科学大学

他の実験に参加している機関も若干あるがここでは割愛

CMS には参加していない

## 超伝導ソレノイド電磁石



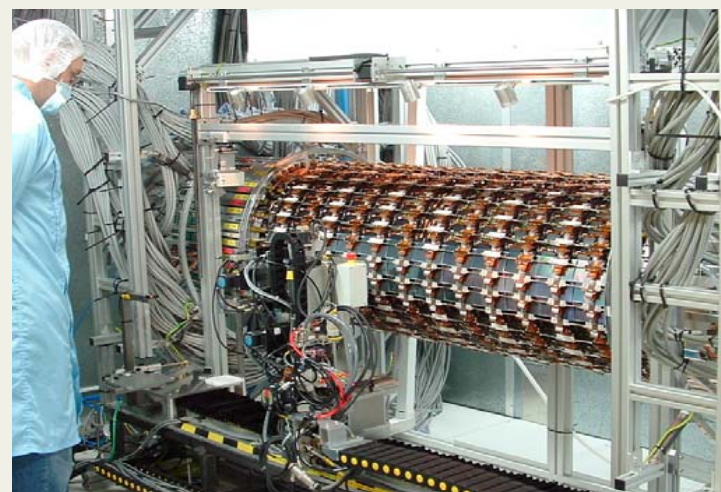
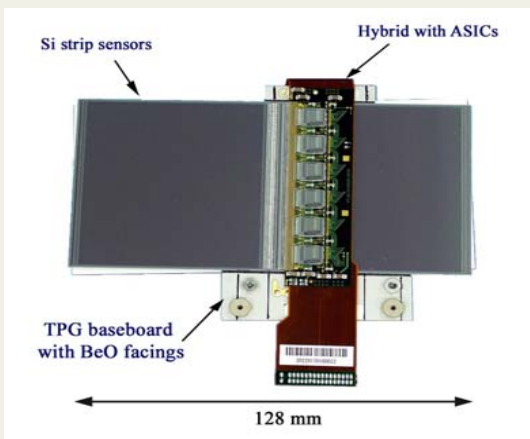
KEK で設計、東芝で制作



CERN へ搬入 (2001 年 9 月)

## シリコン・ストリップ検出器

KEK で制作

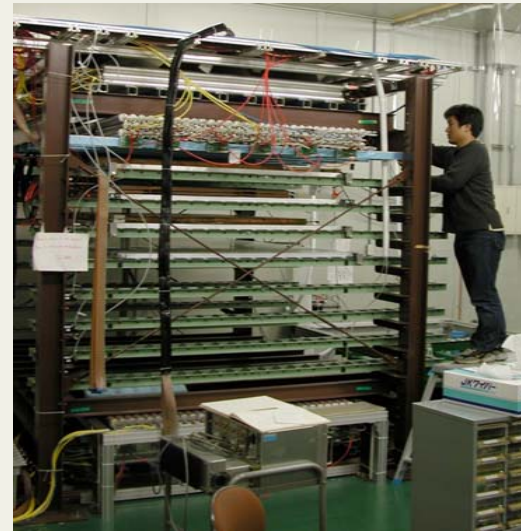


英オックス  
フォード大  
の組立

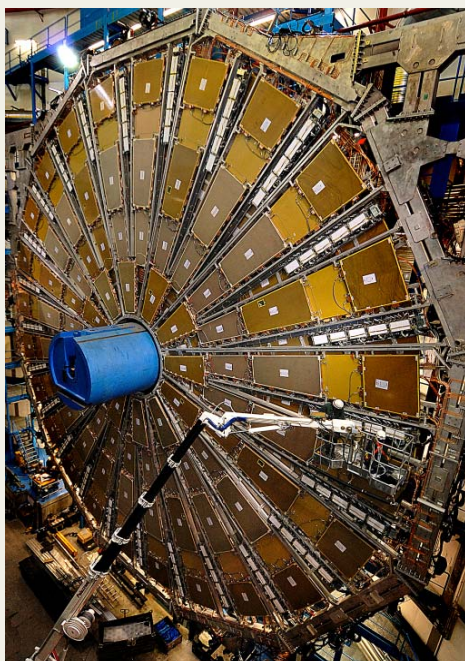
## Thin Gap Chamber (TGC)



KEK でのチャンバー制作



神戸大での検査



CERN での組立

実験ホール内での最終組立

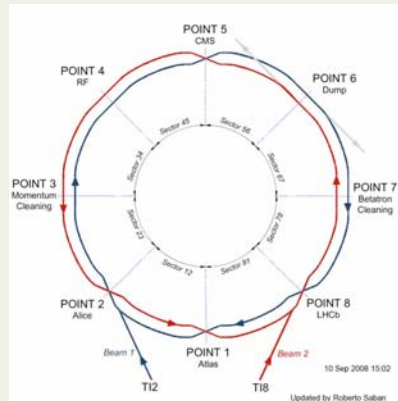


## 最初のビーム周回

2008年9月10日

インターネット (Webcast) で全世界に同時中継

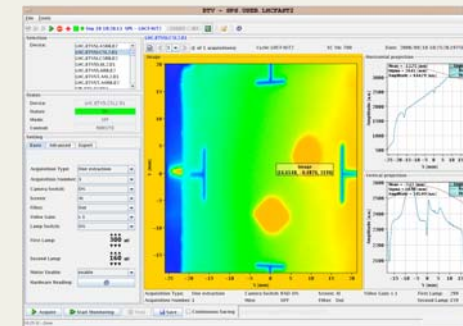
通常の Webcast page はアクセス集中でダウン



テスト開始 50 分で beam 1 (時計回り) の周回に成功

入射エネルギー 450 GeV

数時間後に beam 2 (反時計回り) の周回も成功



最初の周回のビームモニタ: 軌道がずれてしまった為に二つのスポットが見える



LHC コントロールルームは大混雑



KEK セミナーホールでも中継

## ヘリウム漏れ事故

2008 年 9 月 19 日

入射エネルギーでビーム衝突テストを行おうとしているところだった

### 暫定報告 (10 月 16 日)

セクター 3-4 の励磁テスト中に約 9 kA で抵抗電圧発生、1 秒以内に 1 V に増加 (9 kW !)

真空容器内、さらにトンネル内への大量のヘリウム放出

真空容器内圧力の急上昇によって真空隔壁付近が機械的に破損

安全装置が作動してセクター 3-4 全域の電力遮断

セクター 3-4 の 15 トンのヘリウムの内 6 トンが失われた

原因はサブセクター間の超伝導線接合部の不良

電気アークが発生して近くのヘリウム配管を破壊

広範囲なビームパイプ内の汚染、断熱シートの破損があり得る

安全装置は正常に動作したが容量不足などの問題あり

サブセクター： 真空容器の単位、二つのセルを含む

セル： 冷却系の単位、四重極(H) + 3×双極 + 四重極(V) + 3×双極、全長 107 m

室温に戻した後、ダメージが予想される部分を地上に引き上げて調査・修理

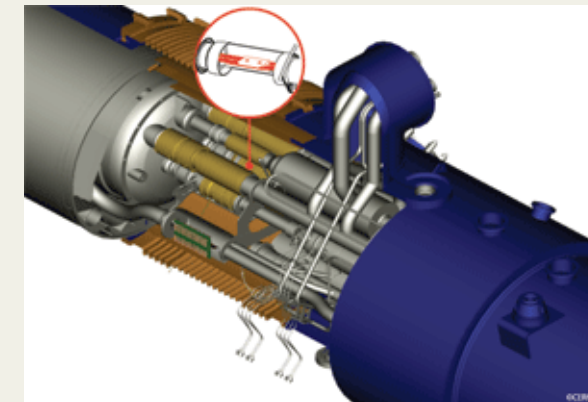
全周に渡って安全装置の強化

スペアパーツと人手は十分にある

運転再開は来年春以降 (4 月末？7 月？)

いろいろな噂：励磁試験の時間が取れないので、来年は 5 + 5 TeV だろう

他のセクターでも同じ様な兆候がある



写真は全く公表されていない

## LHC 完成記念式典

2008年10月21日



メンバー国、オブザーバー国  
政府代表者が参列：日本か  
らは山内文部科学副大臣が  
参加

最後に別枠でダルマの  
目入れ式



スイス・ロマンド・オーケストラ  
によるコンサート

## LHC の現状

修理はほぼ終了

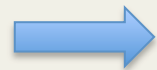
2009 年 11 月中旬に運転再開

まずは、**3.5 + 3.5 TeV** の衝突を目指す

# GRACE から GR@PPA へ

## Hadron collision 用 event generator

“Hadron” は quark/gluon (parton) の複合粒子  
終状態に hadron jet がある場合は、それがどの quark あるいは gluon であるかという識別も困難



実験屋が欲しいのは、例えば  $pp \rightarrow W + 2 \text{ jets} + X$  の  
event generator  
 $ug \rightarrow W^+ dg$  などではない

自動的に parton の種類の組み合わせについての和、可能な運動量の組み合わせについての積分を行ってくれる事が望ましい

$$\frac{d\sigma_{h_1 h_2 \rightarrow W + 2 \text{ jets} + X}(s)}{d\Phi_{j_1} d\Phi_{j_2}} = \sum_{a,b,c,d} \int_0^1 dx_1 \int_0^1 dx_2 f_{a/h_1}(x_1, \mu_F^2) f_{b/h_2}(x_2, \mu_F^2) \delta(\hat{s} - x_1 x_2 s) \frac{d\hat{\sigma}_{ab \rightarrow Wcd}(\hat{s})}{d\hat{\Phi}_c d\hat{\Phi}_d}$$

↑  
実験屋が欲しいもの parton の組み合わせについての和      Parton Distribution Function (PDF) に対する積分      Hard interaction

# GRACE から GR@PPA へ

- **GR@PPA** (GRace At Proton–Proton/Anti–proton collisions)
  - GRACE system の hadron collision への拡張
  - General-purpose event generator (PYTHIA, HERWIG など) への interface
    - PS, hadronization, decay, etc. は general-purpose EG に任せる
  - Event generator package として公開
- Parton flavor/momentum 選択のための積分変数(乱数)の追加
  - 足し合わせ、積分は自動的に行われる
- Multi-process 対応
  - 複数の process を同時に扱える
  - 自動的に event mixing

$$\frac{d\sigma_{h_1 h_2 \rightarrow W + 2 \text{jets} + X}(s)}{d\Phi_{j_1} d\Phi_{j_2}} = \boxed{\sum_{a,b,c,d} \int_0^1 dx_1 \int_0^1 dx_2 f_{a/h_1}(x_1, \mu_F^2) f_{b/h_2}(x_2, \mu_F^2) \delta(\hat{s} - x_1 x_2 s)} \frac{d\hat{\sigma}_{ab \rightarrow Wcd}(\hat{s})}{d\hat{\Phi}_c d\hat{\Phi}_d}$$

GR@PPAこの部分を追加GRACE

- Process reduction
  - Mass/coupling constant の変数化 → Code の短縮

# GR@PPA の歴史

<http://atlas.kek.jp/physics/nlo-wg/index.html>  
<http://atlas.kek.jp/physics/nlo-wg/grappa.html>

- 2000 年 1 月 : NLO-WG 活動開始
- 2000 年 10 月 : ACAT Workshop (FNAL)
  - 基本構想を発表
- 2002 年 4 月 : **GR@PPA\_4b** 公開
  - 4 b-quarks 生成 (QCD, EW, Higgs など、tree level の全ての寄与を含む)
  - PYTHIA 6.1 への interface
  - PDF: PYTHIA built-in PDF と PDFLIB (CERNLIB) に対応
- 2004 年 2 月 : **GR@PPA\_all** 公開
  - 沢山の多体生成 process を追加
    - $W + \text{jets}$  (3 jets まで),  $Z + \text{jets}$  (2 jets まで),  $WW/WZ/ZZ$ , top pair
    - $W/Z/\text{top}$  は崩壊過程まで matrix element で評価; i.e., spin correlation や invariant-mass shape を正しく再現
  - LHA (Les Houches Accord) interface、LHAPDF に対応
- 2006 年 2 月 : **GR@PPA 2.7** 公開
  - 多体生成 process の追加、framework と process の分離、coding の改善
- 最終目標
  - NLO (Next-to-Leading Order) event generator の開発
  - GRACE を用いた NLO event generator 作成の自動化

# GR@PPA 2.76

<http://atlas.kek.jp/physics/nlo-wg/grappa.html#GRAPPA2.7>

- 2006 年 2 月公開
- 多くの**多体生成 process** を含む
  - $W/Z + \text{jets}$  (4 jets まで)
  - $WW/WZ/ZZ + \text{jets}$  (2 jets まで)
  - QCD jets (4 jets まで)
  - top-pair + 0/1 jet
- $W/Z/\text{top}$  の decay まで matrix element で計算されている
  - Spin correlation や invariant-mass shape が tree level で正確に再現されている
- LHA interface をサポート
  - 生成した event data を PYTHIA/HERWIG に渡せる
- PDF: LHAPDF, PDFLIB 内の任意の PDF を選択できる
  - テスト用として、default では CTEQ6L1 (built-in) を使用
- 制限事項
  - 全て Leading Order (LO)
  - ME-PS matching (後述) は考慮されていない
  - $WW/WZ/ZZ + \text{jets}$  に bug がある
  - particle の順序について PYTHIA が文句を言う

## GR@PPA 2.76 以降

人手不足 → 開発速度低下

- 複数の開発が進行中
- Initial-state ME-PS matching の実装 → GR@PPA 2.8
  - $W/Z$  生成、 $WW/WZ/ZZ$  生成
  - 独自の手法: LLL (Limited Leading-Log) subtraction
  - 自前の initial-state Parton Shower (PS) を開発
  - Final-state PS が必要
  - Top pair についても開発中 → GR@PPA 2.9 (?)
- NLO event generator
  - まずは  $W/Z$  生成 → GR@PPA 3.x
  - ほとんど完成しているが、まだ疑問点あり
  - 2.8 の完成が必須
- Di-photon 生成の event generator
  - Low-mass Higgs 生成の background
  - DIPHOX group (LAPP, Annecy) との共同研究
  - Final state の QED radiation matching

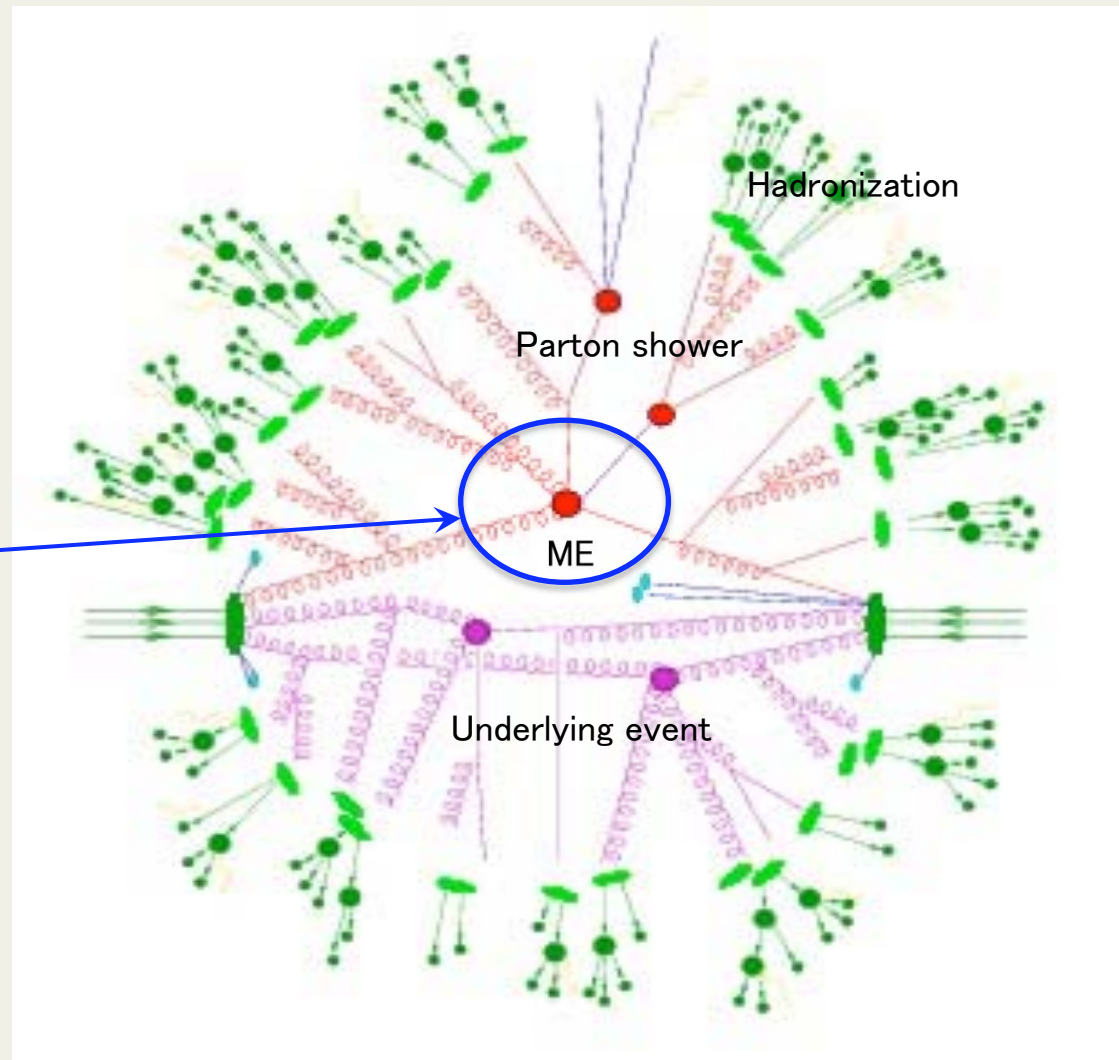
# Event Generator 概說

切り分けは人為的  
整合性は自明でない

GRACE/GR@PPA の役割はここ  
摂動計算の Matrix Element (ME)  
から hard interaction の cross  
section を求める

その他の領域は他の event  
generator に任せる

### Hadron collision のイメージ



## ATLAS 測定器・内部飛跡検出器のシミュレーション例

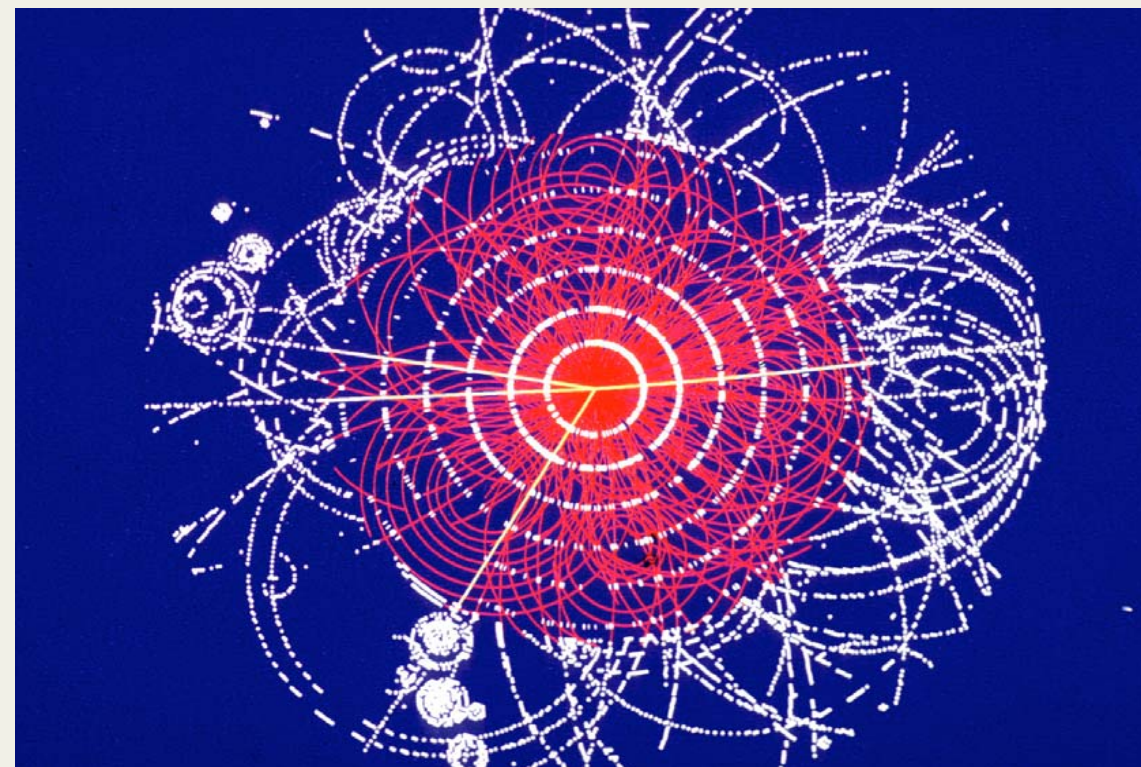
$$pp \rightarrow H + X; H \rightarrow ZZ \rightarrow \mu^+ \mu^- \mu^+ \mu^- \text{ (黄色の線)}$$

ビーム軸方向から見た測定  
データ

ソレノイド磁場の影響で粒子軌  
跡は円弧状に成っている

ここでは荷電粒子しか見えない  
Hard interaction からの粒子は  
黄色い線で示した muon のみ

他は全て Parton Shower や  
Underlying Event からのゴミ



# Hadron collision 用 event generator (1)

## General purpose (汎用)

- General-purpose (all-in-one) event generator
  - Parton shower (PS) や hadronization/decay の simulation が充実
  - 基本的に 2 体生成まで (ME の式が手で簡単に書ける)
    - PYTHIA の Higgs ( $\rightarrow W^+W^-$ ) 生成などの例外はある
  - Heavy particle ( $W, Z, \text{Higgs, top}$  など) は基本的に on-shell 生成
    - 後で decay width、spin correlationなどを入れる
  - 多体生成などの複雑な process は外部の generator に任せること
    - LHA interface のサポート
- Fortran 版
  - PYTHIA: Lund group を離れて HepForge で開発続行
    - 最新版は PYTHIA 6.4xx
  - HERWIG: 開発終了
    - 最終版は HERWIG 6.510
- C++ 化が進められている
  - HERWIG++, PYTHIA8
    - Fortran 版の HERWIG や PYTHIA の発展型
    - 新しい model や機能の導入も行われている
  - SHERPA
    - ME 自動計算を行う AMEGIC++ を内蔵
    - ME-PS matching を行う CKKW 法を真面目に実装

# Hadron collision 用 event generator (2)

## Plug-in/ Hard process

- **Plug-in Tool**
  - General-purpose event generator や hard-process generator の plug-in
  - PDFLIB, LHAPDF: PDF library
    - PDFLIB は開発終了、その後継が LHAPDF
  - EvtGen: B decay
  - TAUOLA/ PHOTOS: tau decay/ photon emission
    - Z. Was らが作成、統合した package で配布
  - JIMMY: underlying events for HERWIG
  - CASCADE, ARIADNE: parton shower
    - CCFM kt-factorization (CASCADE), color-dipole model (ARIADNE)
- **Hard-process (ME-event) Generator**
  - Hard process のみを生成、その他の部分は general-purpose event generator に任せる
  - AcerMC: Higgs の background study 用 generator collection
    - ATLAS Higgs WG が作成したものがベース
  - AlpGen: ALPHA algorithm を用いた generator
    - MLM 処方にに基づく jet matching を実現する generator として使われている
  - MadCUP: VBF (Vector Boson Fusion) 用 generator collection
  - TopReX: top quark 解析用 generator collection
  - GR@PPA
  - .....

# Hadron collision 用 event generator (3)

## Event-generator (matrix-element) generators 他

- Event-generator (matrix-element) generator
  - Hard-process generator を生成するプログラム（群）
  - CompHEP
    - User interface が充実、多体問題は苦手。最近は SUSY に重点
  - MadGraph/MadEvent
    - HELAS に graph 自動生成を加えたもの。User interface が充実。MadEvent は Web interface
  - AMEGIC++
    - SHERPA の一部。C++
  - GRACE
- Cross-section integrator
  - MC integration を用いた cross section 計算 → weighted events が生成される
    - VECBOS, JETRAD, MCFM, NLOJET++, JETPHOX, DIPHOX, etc.
  - 効率良く unweighting が行えれば hard-process generator に成る
- この他にも、Feynman diagram を自動的に生成する事に特化したプログラムなど、いろいろな tool が存在する

いろいろあるが、、、

$\sqrt{s} = 14 \text{ TeV}$  at LHC (CTEQ6L,  $p_T > 20 \text{ GeV}$ ,  $|\eta| < 2.5$ ,  $\Delta R < 0.4$ )

Condition given at the MC4LHC WS 2003

Cross section (pb)	Number of jets				
	0	1	2	3	4
$W^- (e^- \nu_e) + n \text{ jets}$	0	1	2	3	4
ALPGEN	3904(6)	1013(2)	364(2)	136(1)	53.6(6)
MadEvent	3902(5)	1012(2)	361(1)	135.5(3)	53.6(2)
GR@PPA	3905(5)	1013(1)	361.0(7)	133.8(3)	53.8(1)

$W^+ (e^+ \nu_e) + n \text{ jets}$	0	1	2	3	4
ALPGEN	5423(9)	1291(13)	465(2)	182.8(8)	75.7(8)
MadEvent	5433(8)	1277(2)	464(1)	182(1)	75.9(3)
GR@PPA	5434(7)	1273(2)	467.7(9)	181.8(5)	76.6(3)

Hard process (ME event) generator は、正しいものを正しく使えば、どれを使っても結果は同じ

- では、どれを使う?
  - 何をどの程度の精度で評価したいのかをよく考える
  - 必要な**精度と計算時間を**秤に掛ける
    - 多体の ME event generation は非常に時間がかかる
    - 概算の段階ならば PYTHIA などの速い event generator で十分な場合が多い
  - 解析手法がある程度決まつたら、より精度が良いと思われるものと典型的な例で比較してみる
- 注意
  - 少なくとも使用する **tool の設定**は consistent でなければならぬ
    - Mass, coupling, energy scale, etc.
  - Jet が絡むときは **ME-PDF/PS matching 問題**に注意
  - **理論的な不定性**も忘れては成らない
    - Energy scale、PDF などの不定性
  - Underlying event など、**実験が始まるまで分からぬ事**も多い
- **何が適切かを判断するためには QCD の基礎的な知識が必要**

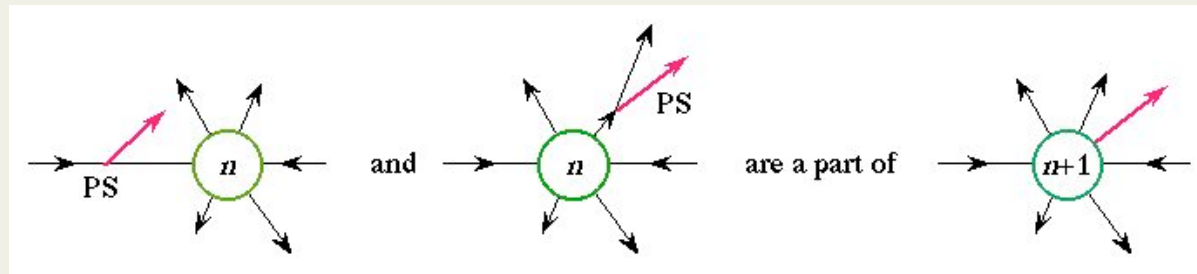
## Double count 問題

Hadron collision 用 event generator における  
最も深刻な問題

→ ME-PS matching

## 異なる jet-multiplicity の ME の足し合わせ

Multi-jet event の simulation、NLO event generation では足し合わせが必須



$n$ -jet ME + PS jet は  $(n+1)$ -jet ME の一部

これらを単純に足し合わせると double count

PS を使わなくとも PDF に radiation の効果が入っているので問題は同じ

→ PS と ME の分担を明確にする必要がある

## 単純な切り分けでは上手く行かない

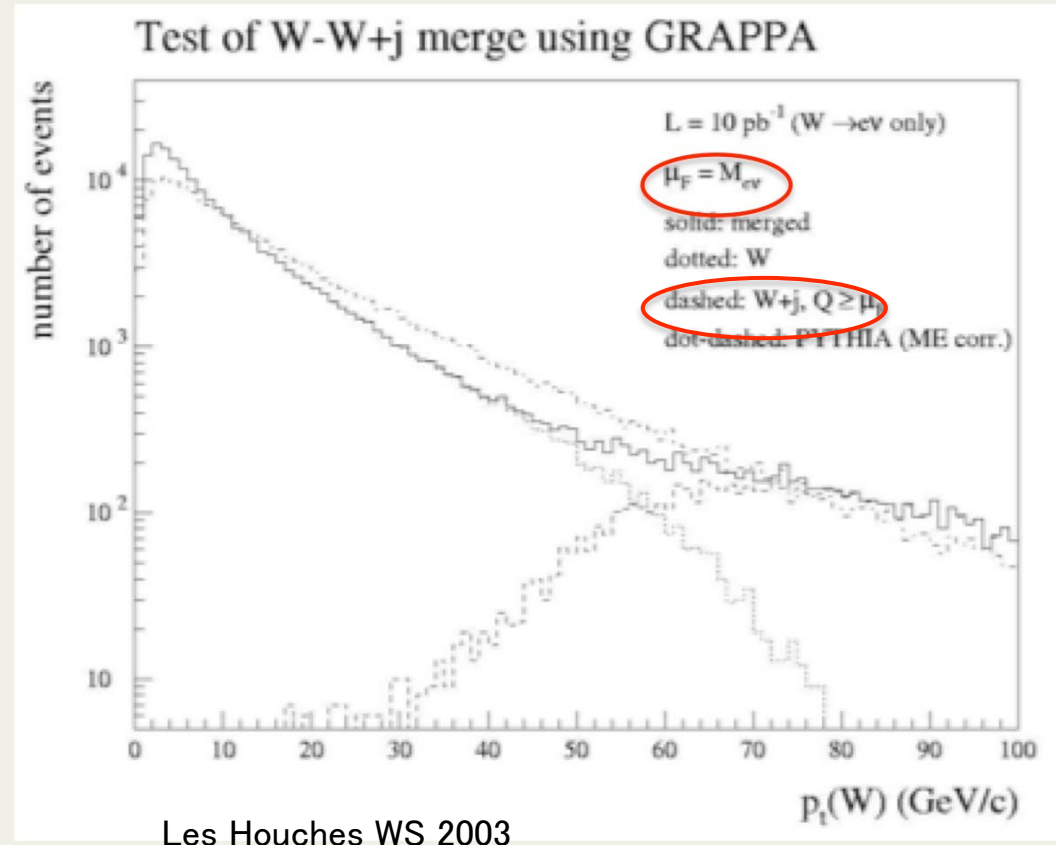
$W + 0 \text{ jet ME}$  に PYTHIA PS を適用して  
 $Q^2 (= -t) < \mu_F^2 = m_W^2$  の jet を生成

$W + 1 \text{ jet ME}$  で  $Q^2 > \mu_F^2$  の jet を生成  
それらを足し合わせる

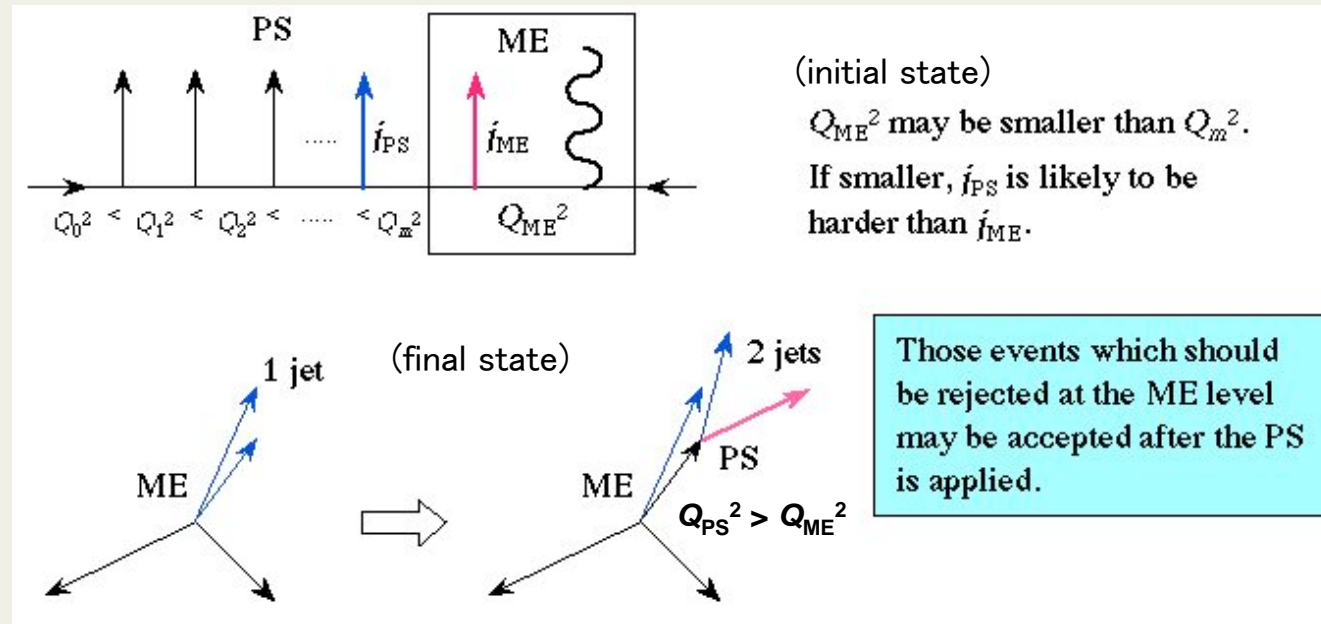
$p_T$  分布に明らかにおかしな structure  
がでてしまふ

Double count は無くなつたはずだが、  
今度は何かが不足している → PS で  
近似できない  $Q^2 < \mu_F^2$  の non-  
collinear 成分

PYTHIA PS (old PS) が soft 過ぎる事  
も原因の一つだった



## 一つの event generator 内でも double count



ME で評価されている jet が PS でも評価されている

PS jet が ME jet よりも hard に成る様な場合、ME で何を評価しているのか分からなく成る

例えば、下記の sample をどうやって生成するか？

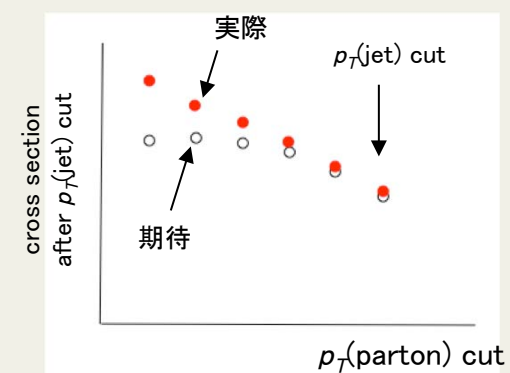
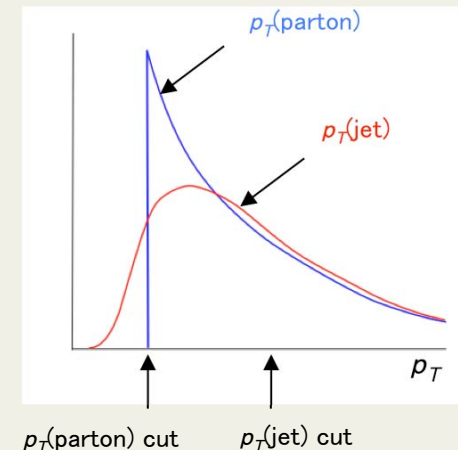
$$W + 1 \text{ jet}, p_T(\text{jet}) > 20 \text{ GeV}/c$$

### 普通の方法

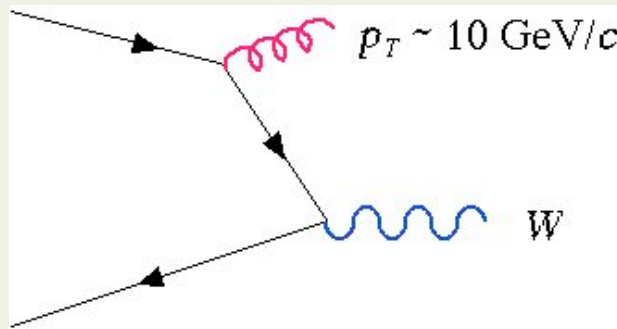
- $p_T(\text{parton})$  cut を  $20 \text{ GeV}/c$  よりも適当に小さくして、 $W + 1 \text{ jet}$  event generator で hard-interaction events を生成
- PS/hadronization/detector simulation を通す → smearing
- Jet reconstruction を行って  $p_T(\text{jet}) > 20 \text{ GeV}/c$  を適用
- $p_T(\text{parton})$  cut を変えて、 $p_T(\text{jet})$  cut 後の cross section の変化を調べる
- この cross section が変わらなく成る位置に  $p_T(\text{parton})$  cut 値を決める

ところが、

- $p_T(\text{parton})$  cut をどこまで小さくしても cross section が一定に成らない
- 調べてみると、reconstruct された jet は hard interaction からの parton と関係ないものが多い



そもそも、



この様な process の ME 計算は信頼性が無い

higher order (multi-jet) の寄与が大きい

i.e., PS の方が信頼性の高い評価ができる

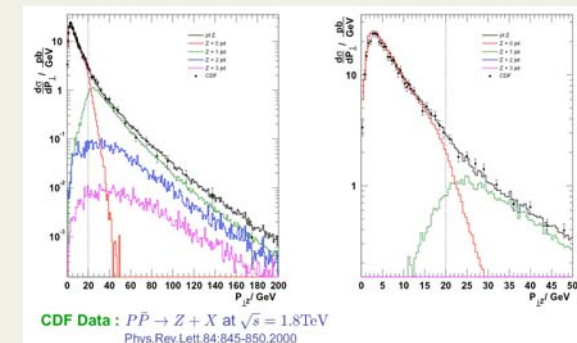
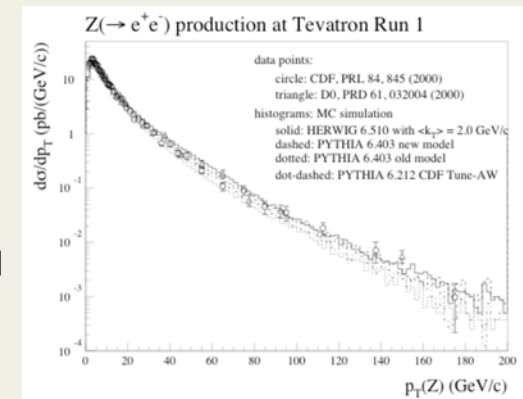
上記 process の ME は  $p_T \rightarrow 0$  で発散するが、multi-jet 効果で抑制されて有限に成る (**Sudakov suppression**)

low  $p_T$  では PS に、high  $p_T$  では ME に一致する方法は無いか？

# 解決策

## Leading Order (LO) generator

- PYTHIA/HERWIG の ME correction
  - PS で非常に hard な jet まで生成し、最も hard な jet の生成確率が 1-jet ME に一致する様に補正
  - Jet は全て PS で生成されるので、soft な部分は multi-jet 生成の効果で自然に抑制される
  - Event weight は単純な式で計算できなければ成らないので、W/Z/H などの color singlet 生成に対する 0 jet/1 jet の matching くらいにしか適用できない
- Multi-jet event に対する CKKW 法
  - 0 jet, 1 jet, ... を個別に生成する (cut 値はかなり小さくする)
  - 個々の event を clustering 手法を用いて PS の描像に対応付ける
  - PS の手法に習って Sudakov form factor と coupling の値を評価 → suppression
  - Event 生成時の cut 以下の soft な領域に PS を適用
  - PS の精度での足し合わせができる; i.e., LL or MLLA
- MLM 処方
  - CKKW に似ているが、PS picture への対応付けではなく、ME-jet (parton) と PS 適用後に再構成された jet との matching で suppression を評価する



# 解決策

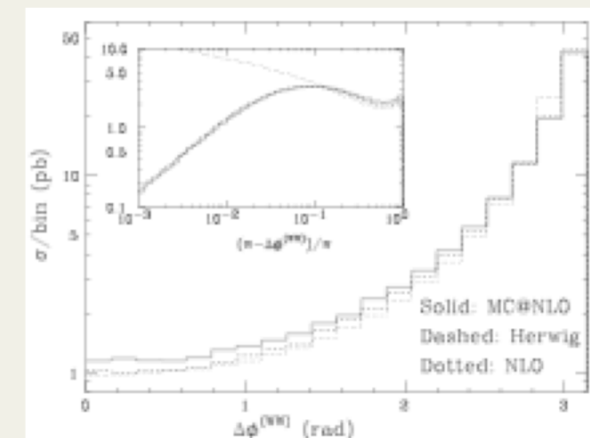
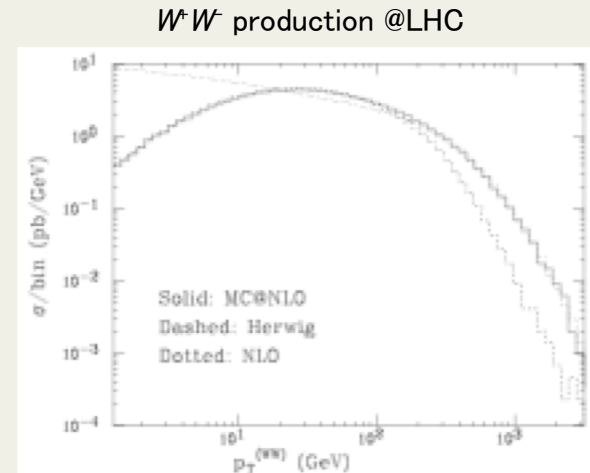
## Next-to-Leading Order (NLO) generator

- MC@NLO

- ME correction と同様に 0-jet event に非常に hard な領域まで PS を適用し、その leading order の寄与を 1-jet ME から差し引く (subtraction)
- Color singlet または heavy quark の NLO event generator; i.e., 0 jet/1 jet の matching のみ
- 人為的な subtraction なので 1-jet event に負の cross section が現れる
- Subtraction 項を決めるために PS に対する正確な理解が必要 (使用する PS に依存)
- 今のところ使えるのは HERWIG PS のみ

- POWHEG

- 全て 1-jet ME から計算
- Sudakov form factor を計算して soft な jet を suppress する
- 対象とする process は MC@NLO と同じ (同じ group が開発)
- 負の cross section が現れない
- PS の適用方法が難しい



# 解決策(まとめ)

- PS を補正して hard な領域で ME に一致させる
  - PYTHIA/HERWIG の ME correction
  - Hard な PS の振る舞いについての正確な理解が必要
- ME を補正して soft な領域で PS に一致させる
  - CKKW 法、MLM 処方、POWHEG
  - Sudakov suppression
  - PS の適用領域を狭くする
- ME から PS の leading order の寄与を差し引く
  - MC@NLO
  - 使用する PS に依存
  - negative-weight event が生成される

# 我々の解決策

まだ、0-jet/1-jet matching のみ

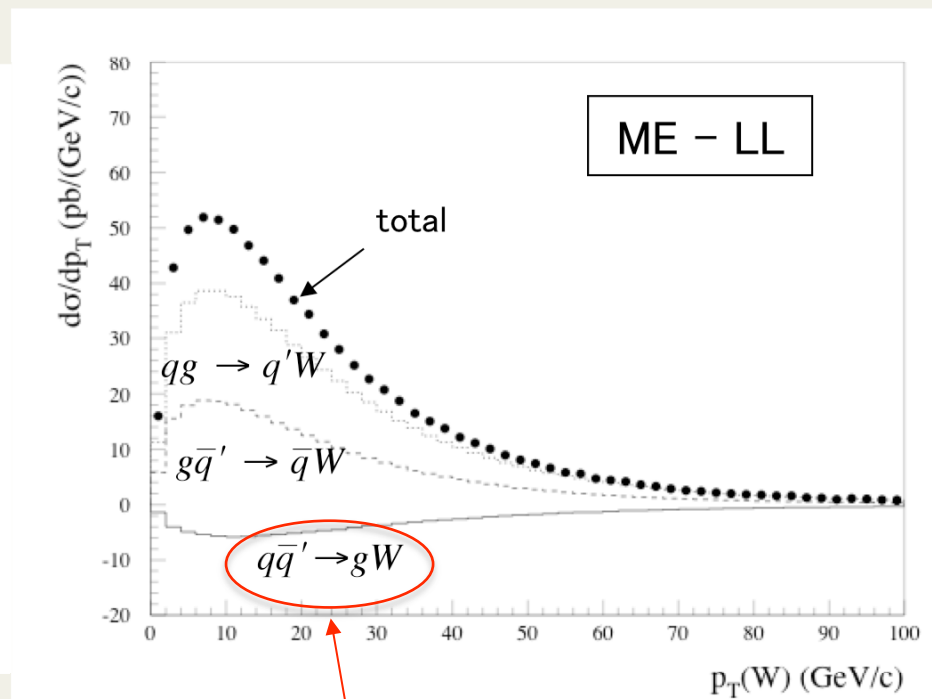
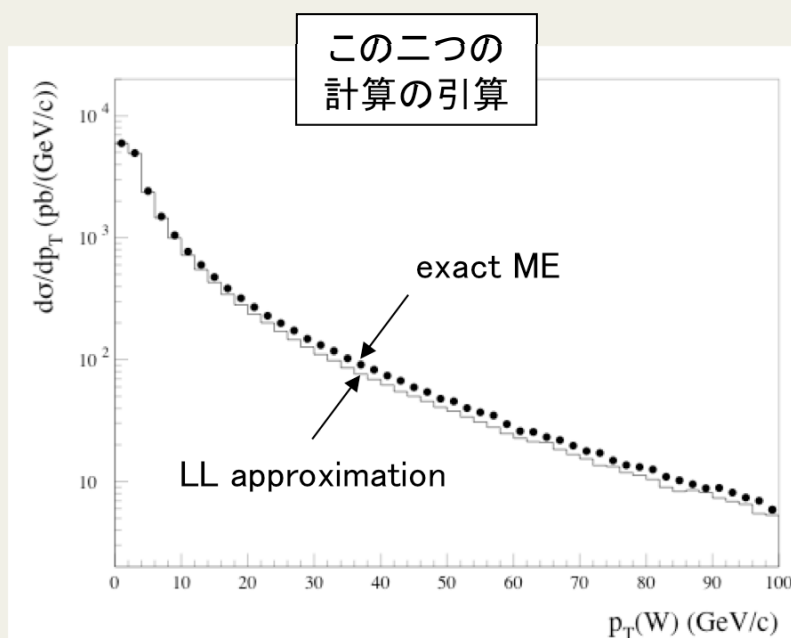
- Initial-state PS は素直に  $Q^2 < \mu_F^2$  の領域に適用
  - PDF との整合性
- PS の leading order の寄与を 1-jet ME から差し引く (subtraction)
  - Limited Leading-Log (LLL) subtraction
  - Subtraction は  $Q^2 < \mu_F^2$  の領域のみ (limited)
  - 発散項が無くなるので、subtraction 後の cross section は有限
  - MC@NLO と同様に負の cross section が現れるが、大きな問題ではない
- Subtraction との整合性を保証するために自前の PS を作成
  - QCDPS (by 栗原)
  - 最も単純な Leading-Log (LL) PS
  - PYTHIA に含まれる angular ordering や gluon correlation などの補正はいっさい無い  
→ 振る舞いが予言可能
- NLO event generator に発展可能
  - 0-jet process に virtual/soft 補正を加えれば NLO
- Final-state radiation にも拡張可能 → multi-jet process の matching

## LL subtraction

$W + 1 \text{ jet } @\text{LHC}$

$p_T > 1 \text{ GeV}/c$

数値計算の安定性のため  
結果には影響しない

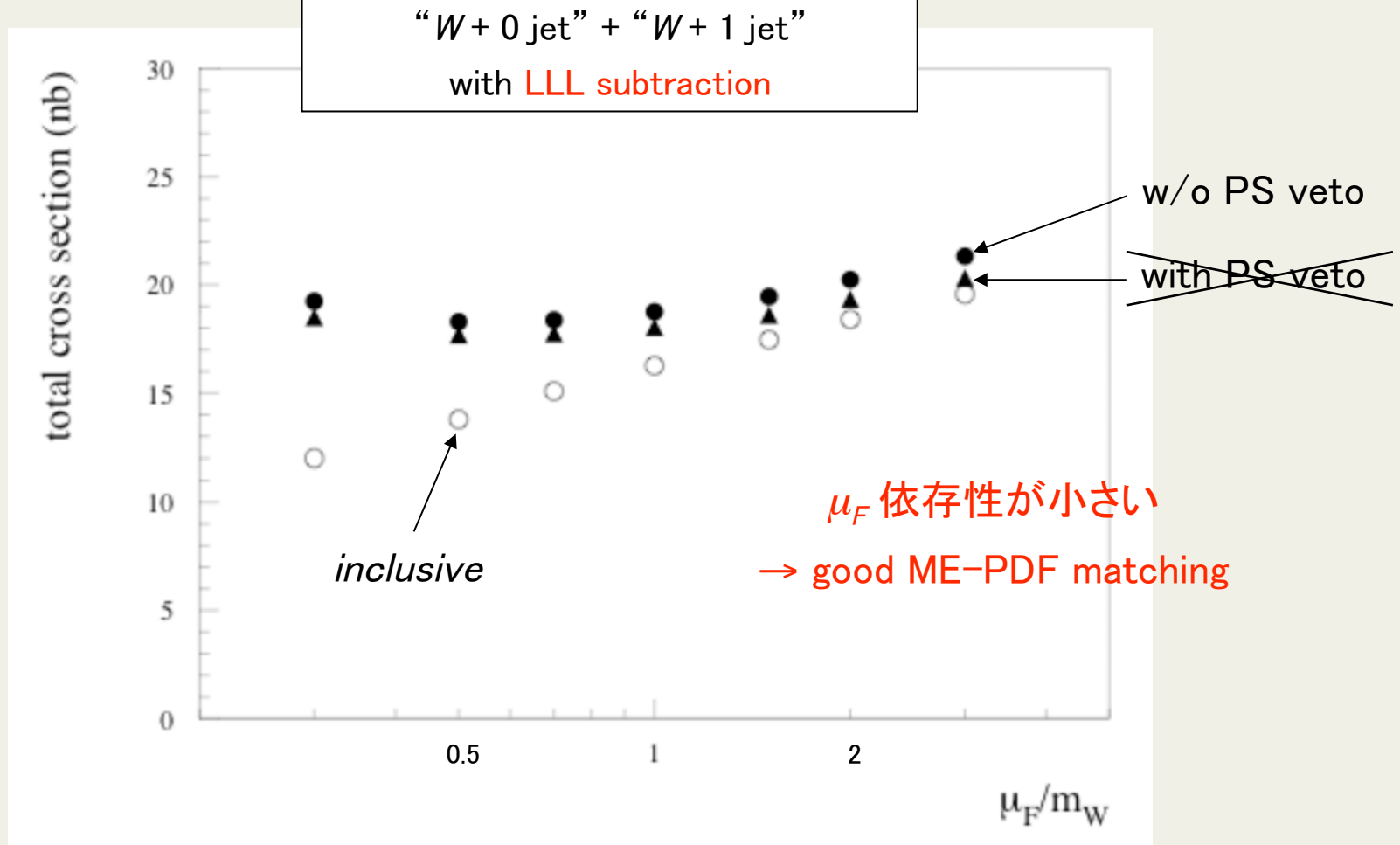


負になる

## Factorization-scale 依存性

$W$  production @LHC

“ $W + 0 \text{ jet}$ ” + “ $W + 1 \text{ jet}$ ”  
with LLL subtraction



## PS branch kinematics

Subtract された LLL 成分は 0-jet event に適用される PS で recover する

Visible な領域に境界 ( $Q = \mu_F$ ) がある

→ PS は subtract した LLL 成分を正確に再現しなければならない

適切な PS branch model の導入が必要

PYTHIA old-PS が何故か soft 過ぎる ( $p_T$  が小さ過ぎる) という事が  
独自 PS 開発の主な動機



### $p_T$ -prefixed PS branch kinematics

PYTHIA old-PS model に似ているが、

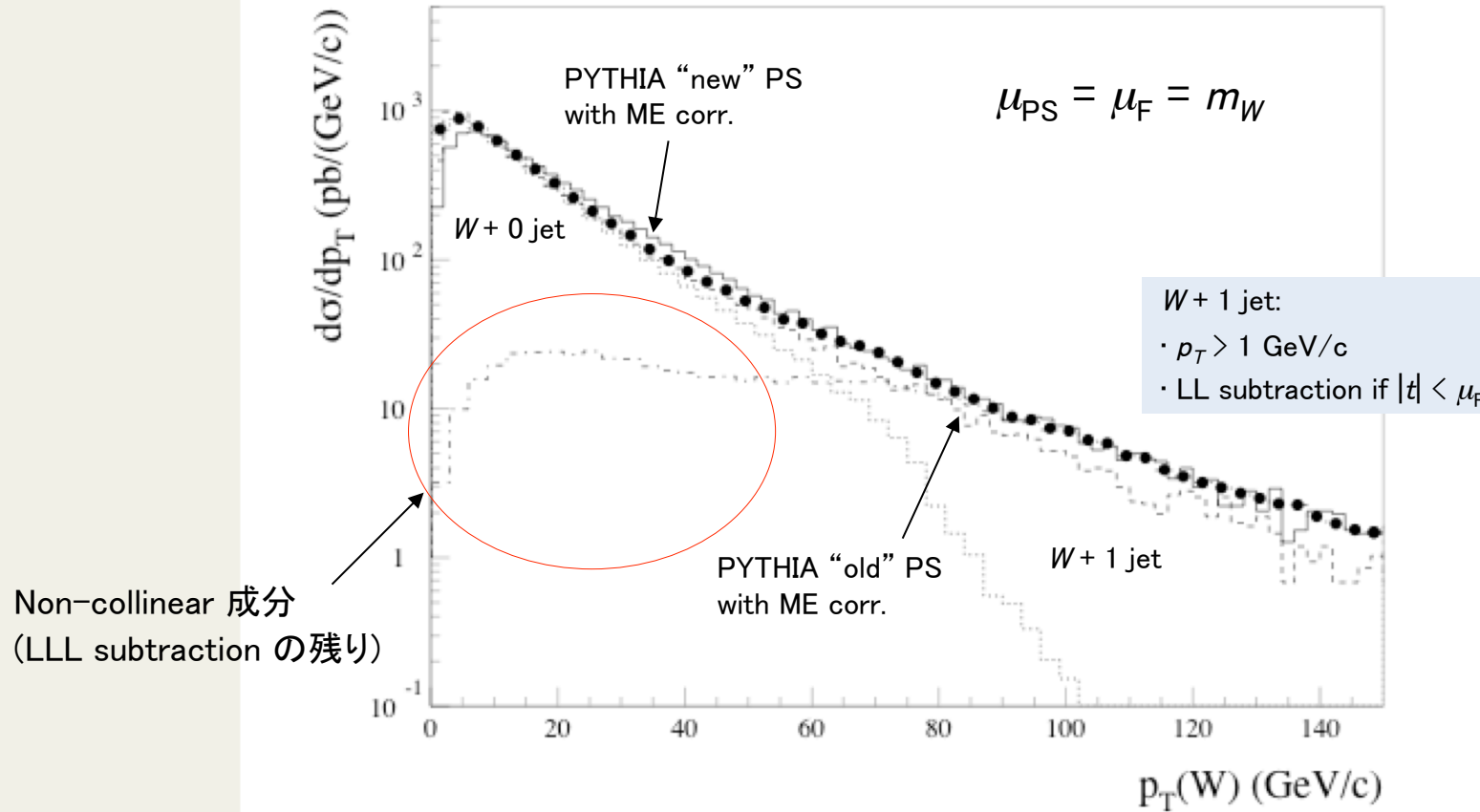
$p_T^2 = (1-z)Q^2$ ; i.e., 「 $Q^2 = \text{virtuality}$ 」を放棄

PYTHIA old-PS は「 $Q^2 = -p'^2$ 」を仮定して、  
energy/momentum 保存から  $p_T$  を求める

$$\begin{aligned} k &= (E - E', -p_T, 0, p - p') \\ p &= (E, 0, 0, p) \\ p' &= (E', p_T, 0, p') \\ k^2 &= 0 \quad 0 > p^2 > p'^2 \\ z &\approx E'/E \end{aligned}$$

## $W$ production @LHC

ここでは、まだ、Hadronization/decayなどのsoftな効果はsimulateされていない



$W$  mass 付近 ( $\mu_F$ ) でスムーズに結合される

$\mu_F$  依存性も小さい

ここまで、BASES (積分計算) での study の結果

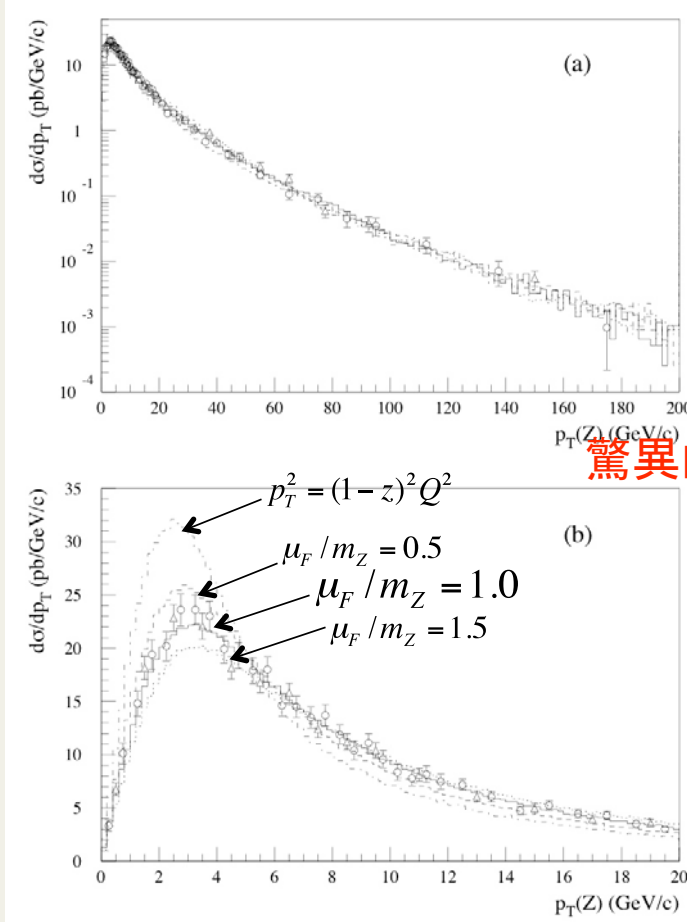
その後、この手法を GR@PPA に導入

PYTHIA/HERWIG を用いて soft な領域の simulation を付  
加できる様に成った

→ 実験データとの比較も可能

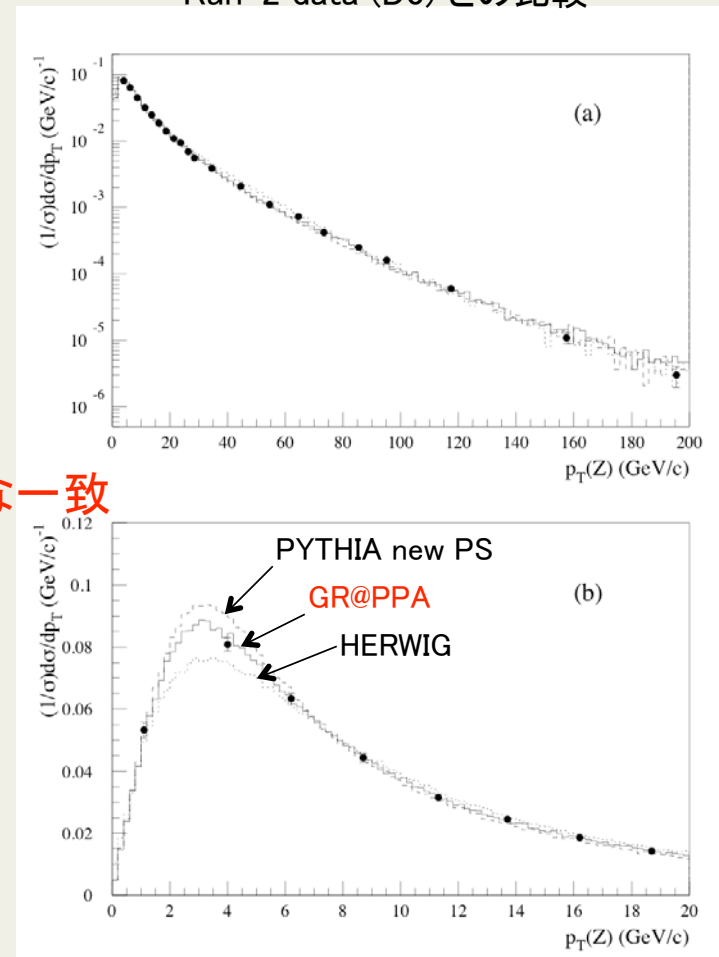
# Z production @Tevatron

Run-1 data (CDF, D0)との比較



驚異的な一致

Run-2 data (D0)との比較

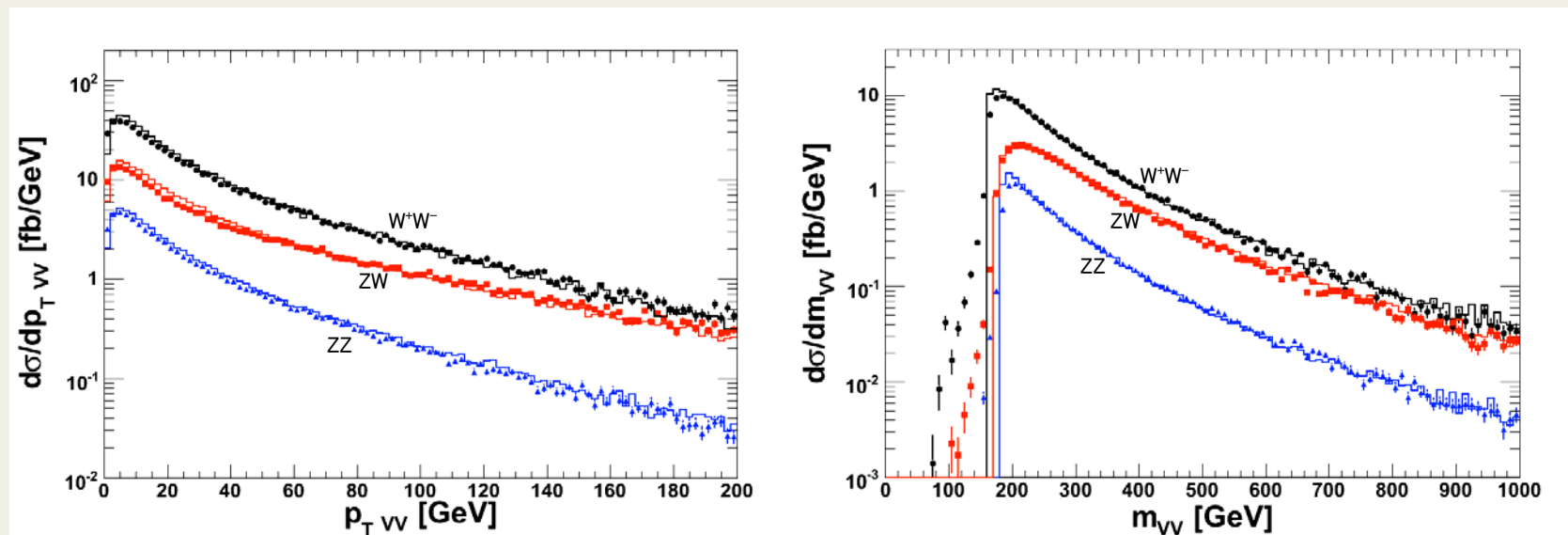


どちらも shape のみの比較: 積分値が同じに成る様に normalize  
Gaussian で non-perturbative effect (+α) を入れている

# Di-boson 生成 @LHC

GR@PPA v.s. MC@NLO

Plots: GR@PPA2.8-dev5 + PYTHIA 6.419  
Solid lines : MC@NLO3.31+Herwig6.510.3+Jimmy4.31.3



Reasonable な一致を示す

GR@PPA はまだ NLO ではない (virtual/soft correction が入っていない)  
MC@NLO には  $W/Z$  の decay width が入っていない

という訳で、  
Heavy color-singlet 生成の initial-state ME-PS  
matching はほとんど完成

しかし、  
最終目標までの道はまだ遠い

# 演習

[http://research.kek.jp/people/odaka/grace-school2009/grace-school2009\\_odaka.html](http://research.kek.jp/people/odaka/grace-school2009/grace-school2009_odaka.html)